



دانشگاه سمنان

دانشکده شیمی
پایان نامه کارشناسی ارشد
گرایش شیمی معدنی

موضوع:

سنتر، ویژگی‌های ساختاری و مطالعه‌ی خواص طیفی کمپلکس‌های جدید
تک‌هسته‌ای و دو‌هسته‌ای کبالت(III) با لیگاندهای باز شیف سه‌دندانه

استاد راهنما:

دکتر مهدی صالحی

استاد مشاور:

دکتر علی عموزاده

نگارش:

مریم حسن‌زاده اصفهانی

مهر ۱۳۹۲



دانشگاه سمنان

دانشکده شیمی

پایان نامه کارشناسی ارشد شیمی معدنی

تحت عنوان:

سترنز، ویژگی‌های ساختاری و مطالعه‌ی خواص طیفی کمپلکس‌های جدید
تک‌هسته‌ای و دو‌هسته‌ای کبالت(III) با لیگاند‌های باز شیف سه‌دندانه

ارائه شده توسط:

مریم حسن‌زاده اصفهانی

در تاریخ مهرماه ۱۳۹۲ توسط کمیته تخصصی زیر مورد بررسی و تصویب نهایی قرار گرفت:

دکتر مهدی صالحی

- ۱ استاد راهنما

دکتر علی عموزاده

- ۲ استاد مشاور

دکتر مهدی بهزاد

- ۳ استاد داور داخلی

دکتر احمد امیری

- ۴ استاد داور خارجی

بِسْمِ اللّٰهِ الرَّحْمٰنِ الرَّحِيْمِ

تقدیم به:

زیباترین و پرممتازترین و اثرهای زنگیم:

پروردگار عزیز و مهربانم

که وجودم برایشان همه رنج بوده است و وجودشان، برایم همه هم

دو خواهر و برادر عزیزم

که با وجودشان، به زنگی ام طراوت می نخشد.

راهنمای روشنکر این راه سخت، جناب آقای دکتر مهدی صالحی

تقدیر و تشکر:

سپاس بی کران پروردگار یکتا را که هستی مان بخشد و به طریق علم و دانش رهنمونمان شد و به همنشینی رهروان علم و دانش مفتخرمان نمود و خوش‌چینی از علم و معرفت را روزیمان ساخت.

با سپاس فراوان از خانواده‌ی دلسوز و مهربانم که آرامش روحی و آسایش فکری فراهم نمودند تا با حمایتهای همه جانبه در محیطی مطلوب، مراتب تحصیلی ام را پشت سر بگذارم.

و با تقدیر و تشکر شایسته از استاد عزیزم جناب آقای دکتر مهدی صالحی که با حسن خلق و فروتنی، از هیچ کمکی در این عرصه بر من دریغ ننمودند و همواره راهنماییشان در تکمیل این پژوهه، کمال تشکر را دارم.

همچنین از جناب آقای دکتر علی عموزاده به خاطر راهنماییشان در تکمیل این پژوهه، کمال تشکر را دارم. از اساتید گرامی جناب آقای دکتر احمد امیری و جناب آقای دکتر مهدی بهزاد که زحمت مطالعه و حضور در جلسه دفاع از پایان نامه اینجانب را بر عهده داشتند، سپاس فراوان دارم.

همچنین از سرکار خانم دکتر فیروزه نعمتی، به خاطر راهنماییشان، صمیمانه سپاسگزارم. از کلیه دوستان در آزمایشگاه تحقیقاتی که طی انجام پژوهه از همفکری و کمک آنها بهره گرفتم صمیمانه سپاسگزاری نموده و موفقیت روزافزونشان را آرزومندم.

در آخر از دوستان گرامی ام خانم مهسا پویان، آقای مدرس دهقانی که در گردآوری این رساله به اینجانب یاری رساندند، قدردانی می‌نمایم.

ستز، ویژگی‌های ساختاری و مطالعه‌ی خواص طیفی کمپلکس‌های جدید تک‌هسته‌ای و دو‌هسته‌ای کبالت(III) با لیگاند‌های باز شیف سه‌دانه

چکیده

در کار حاضر، کمپلکس‌های جدید تک‌هسته‌ای و دو‌هسته‌ای کبالت(III) با لیگاند‌های باز شیف سه‌دانه‌ای حاصل از تراکم ۲-هیدروکسی-۳-متوكسی بنزاًلدھید، با ۲-آمینو بنزیل الکل، ۲-هیدروکسی-۳-متوكسی بنزاًلدھید با ۲-آمینو فنول، سالسیلآلدهید با ۲-آمینو بنزیل الکل، ستز و با روش‌های طیفسنجی H-NMR و انتقال الکترونی UV-Vis شناسایی و بررسی گردید. همچنین از تعدادی از این کمپلکس‌ها تک کریستال تهیه و ساختار آنها توسط پراش اشعه X مطالعه شد.

کلمات کلیدی: کبالت(III)، لیگاند باز شیف سه‌دانه، ساختار بلوری، کمپلکس‌های دو‌هسته‌ای

فهرست مطالب

۱	مقدمه
۱	۱- باز شیف
۲	۲- سترز لیگاندهای باز شیف
۲	۳-۱- انواع بازهای شیف از دیدگاه تقارن
۳	۳-۲-۱- بازهای شیف متقارن.....
۳	۳-۲-۳-۱- بازهای شیف نامتقارن.....
۴	۴-۱- بازهای شیف سه‌دانه
۴	۴-۱-۱- بازهای شیف سه‌دانه P, N, O
۴	۴-۱-۲- بازهای شیف سه‌دانه S, N, O
۴	۴-۱-۳- بازهای شیف سه‌دانه N, O, N
۵	۴-۱-۴- بازهای شیف سه‌دانه O, N, O
۵	۵-۱- اهمیت و کاربرد بازهای شیف
۶	۶-۱- روش‌های سترز کمپلکس‌های باز شیف
۶	۶-۱-۱- سترز دو مرحله‌ای یا مستقیم
۶	۶-۱-۲- سترز تک مرحله‌ای یا الگوسازی
۷	۶-۱-۳- مزایای روش سترز تک مرحله‌ای
۷	۶-۱-۴- معایب روش تهیه تک مرحله‌ای
۷	۷-۱- کمپلکس‌های کبالت

۹	۱-۸- کمپلکس‌های دوهسته‌ای
۱۲	۱-۹- فعالیت ضد باکتری کمپلکس کبالت(III)
۱۴	۱-۱۰- اهداف پایان‌نامه
۱۶	۱-۱۶- بخش تجربی
۱۶	۲-۱- تجهیزات و دستگاه‌های آزمایشگاهی
۱۶	۲-۲- مواد آزمایشگاهی
۱۷	۳-۲- سنتز لیگاند‌های باز شیف سه‌دانه
۱۷	۳-۲-۱- سنتز لیگاند H_2L^1
۱۷	۳-۲-۲- سنتز لیگاند H_2L^2
۱۸	۳-۲-۳- سنتز لیگاند H_2L^3
۱۹	۴-۲- سنتز کمپلکس‌های باز شیف کبالت(III) با لیگاند‌های سه‌دانه باز شیف (NO_2)
۱۹	۴-۲-۱- سنتز کمپلکس $[Co_2^{III}(L^1)_2(py)_2(OAc)]PF_6$ (۱)
۲۰	۴-۲-۲- سنتز کمپلکس $[Co^{III}(L^2)(py)_3]ClO_4$ (۲)
۲۰	۴-۲-۳- سنتز کمپلکس $[Co_2^{III}(L^3)_2(py)_2(OAc)]PF_6$ (۳)
۲۱	۴-۴-۲- سنتز کمپلکس $[Co_2^{III}(L^1)_2(4-Mepy)_2(OAc)]ClO_4$ (۴)
۲۲	۴-۴-۵- سنتز کمپلکس $[Co_2^{III}(L^3)_2(4-Mepy)_2(OCH_3)]PF_6$ (۵)
۲۴	۱-۳- تحلیل و بررسی نتایج
۲۴	۱-۳-۱- شناسایی ترکیبات سنتز شده باز شیف H_2L^1
۲۴	۱-۳-۲- شناسایی لیگاند باز شیف H_2L^2
۲۵	۱-۳-۳- شناسایی کمپلکس $[Co_2^{III}(L^1)_2(py)_2(OAc)]PF_6$ (۱)
۲۷	۱-۳-۳-۱- شناسایی لیگاند باز شیف H_2L^3

۲۷ $[\text{Co}^{\text{III}}(\text{L}^2)(\text{py})_3]\text{ClO}_4$ (۲)	-۴-۱-۳-شناسایی کمپلکس
۲۹ H_2L^3	-۵-۱-۳-شناسایی لیگاند باز شیف
۳۰ $[\text{Co}_2^{\text{III}}(\text{L}^3)_2(\text{py})_2(\text{OAc})]\text{PF}_6$ (۳)	-۶-۱-۳-شناسایی کمپلکس
۳۱ $[\text{Co}_2^{\text{III}}(\text{L}^1)_2(4\text{-Mepy})_2(\text{OAc})]\text{ClO}_4$ (۴)	-۷-۱-۳-شناسایی کمپلکس
۳۳ $[\text{Co}_2^{\text{III}}(\text{L}^3)_2(4\text{-Mepy})_2(\text{OCH}_3)]\text{PF}_6$ (۵)	-۸-۱-۳-شناسایی کمپلکس
۳۵بررسی ساختارهای بلوری	-۲-۳-۲-بررسی
۳۵ $[\text{Co}_2^{\text{III}}(\text{L}^1)_2(\text{py})_2(\text{OAc})]\text{PF}_6$ (۱)	-۱-۲-۳-بررسی ساختار بلوری کمپلکس
۳۶ $[\text{Co}^{\text{III}}(\text{L}^2)(\text{py})_3]\text{ClO}_4$ (۲)	-۲-۲-۳-بررسی ساختار بلوری کمپلکس
۳۷ $[\text{Co}_2^{\text{III}}(\text{L}^3)_2(\text{py})_2(\text{OAc})]\text{PF}_6$ (۳)	-۳-۲-۳-بررسی ساختار بلوری کمپلکس
۳۹ $[\text{Co}_2^{\text{III}}(\text{L}^3)_2(4\text{-Mepy})_2(\text{OCH}_3)]\text{PF}_6$ (۵)	-۴-۲-۳-بررسی ساختار بلوری کمپلکس
۴۰پیشنهادهایی برای آینده	-۳-۳-۳-پیشنهادهایی برای آینده
۴۱ضمایم	
۱۱۶مراجع	

فهرست شکل‌ها

۲.....	شکل ۱-۱ ساختار عمومی باز شیف
۳.....	شکل ۲-۱ دو نمونه از بازهای شیف متقارن
۴.....	شکل ۳-۱ دو نمونه از بازهای شیف نامتقارن
۴.....	شکل ۴-۱ نمونه‌ای از باز شیف سه‌دانه $P_{N,O}$
۴.....	شکل ۵-۱ نمونه‌ای از باز شیف سه‌دانه $S_{N,O}$
۵.....	شکل ۶-۱ نمونه‌ای از باز شیف سه‌دانه $N_{N,O}$
۵.....	شکل ۷-۱ نمونه‌ای از باز شیف سه‌دانه $O_{N,O}$
۶.....	شکل ۸-۱ سترز کمپلکس به روش مستقیم
۷.....	شکل ۹-۱ سترز کمپلکس به روش الگوسازی
۷.....	شکل ۱۰-۱ لیگاندهای باز شیف سه‌دانه N_2O
۹.....	شکل ۱۱-۱ یک نمونه از کمپلکس سه‌هسته‌ای کبالت
۱۰.....	شکل ۱۲-۱ یک نمونه از کمپلکس ناجور هسته
۱۰.....	شکل ۱۳-۱ یک نمونه از کمپلکس جور هسته
۱۴.....	شکل ۱۴-۱ کمپلکس باز شیف کبالت(III)
۱۴.....	شکل ۱۵-۱ کاتیون‌های اتیلن دی‌آمین کبالت(III)
۱۷.....	شکل ۱-۲ شمای کلی روش سترز لیگاند باز شیف H_2L^1
۱۸.....	شکل ۲-۲ شمای کلی روش سترز لیگاند باز شیف H_2L^2
۱۸.....	شکل ۳-۲ شمای کلی روش سترز لیگاند باز شیف H_2L^3
۱۹.....	شکل ۴-۲ شمای کلی روش سترز کمپلکس (۱) $[Co^{III}_2(L^1)_2(py)_2(OAc)]PF_6$
۲۰.....	شکل ۵-۲ شمای کلی روش سترز کمپلکس (۲) $[Co^{III}(L^2)(py)_3]ClO_4$
۲۱.....	شکل ۶-۲ شمای کلی روش سترز کمپلکس (۳) $[Co^{III}_2(L^3)_2(py)_2(OAc)]PF_6$
۲۲.....	شکل ۷-۲ شمای کلی روش سترز کمپلکس (۴) $[Co^{III}_2(L^1)_2(4-Mepy)_2(OAc)]ClO_4$

- شکل ۸-۲ شمای کلی روش سنتز کمپلکس (۵) $[Co_2^{III}(L^3)_2(4\text{-Mepy})_2(OCH_3)]PF_6$ ۲۳
- شکل ۱-۳ شمای کلی روش سنتز لیگاند باز شیف H_2L^1 ۲۴
- شکل ۲-۳ شمای کلی روش سنتز کمپلکس (۱) $[Co_2^{III}(L^1)_2(py)_2(OAc)]PF_6$ ۲۵
- شکل ۳-۳ شمای کلی روش سنتز لیگاند باز شیف H_2L^2 ۲۷
- شکل ۴-۳ شمای کلی روش سنتز کمپلکس (۲) $[Co^{III}(L^2)(py)_3]ClO_4$ ۲۸
- شکل ۵-۳ شمای کلی روش سنتز لیگاند باز شیف H_2L^3 ۲۹
- شکل ۶-۳ شمای کلی روش سنتز کمپلکس (۳) $[Co_2^{III}(L^3)_2(py)_2(OAc)]PF_6$ ۳۰
- شکل ۷-۳ شمای کلی روش سنتز کمپلکس (۴) $[Co_2^{III}(L^1)_2(4\text{-Mepy})_2(OAc)]ClO_4$ ۳۲
- شکل ۸-۳ شمای کلی روش سنتز کمپلکس (۵) $[Co_2^{III}(L^3)_2(4\text{-Mepy})_2(OCH_3)]PF_6$ ۳۳
- شکل ۹-۳ ساختار بلوری کمپلکس (۱) $[Co_2^{III}(L^1)_2(py)_2(OAc)]PF_6$ ۳۶
- شکل ۱۱-۳ ساختار بلوری کمپلکس (۲) $[Co^{III}(L^2)(py)_3]ClO_4$ ۳۷
- شکل ۱۲-۳ انباستگی بلوری کمپلکس (۲) $[Co^{III}(L^2)(Py)_3]ClO_4$ ۳۷
- شکل ۱۳-۳ ساختار بلوری کمپلکس (۳) $[Co_2^{III}(L^3)_2(py)_2(OAc)]PF_6$ ۳۸
- شکل ۱۴-۳ انباستگی بلوری کمپلکس (۳) $[Co_2^{III}(L^3)_2(py)_2(OAc)]PF_6$ ۳۸
- شکل ۱۵-۳ ساختار بلوری کمپلکس (۵) $[Co_2^{III}(L^3)_2(4\text{-Mepy})_2(OCH_3)]PF_6$ ۳۹
- شکل ۱۶-۳ انباستگی بلوری کمپلکس (۵) $[Co_2^{III}(L^3)_2(4\text{-Mepy})_2(OCH_3)]PF_6$ ۴۰
- شکل ۱-۴ طیف FT-IR لیگاند H_2L^1 ۴۲
- شکل ۲-۴ طیف جذب الکترونی لیگاند H_2L^1 با غلظت 10^{-5} مول بر لیتر در حلال استونیتریل ۴۳
- شکل ۳-۴ طیف FT-IR کمپلکس (۱) $[Co_2^{III}(L^1)_2(py)_2(OAc)]PF_6$ ۴۴
- شکل ۴-۴ طیف جذب الکترونی کمپلکس (۱) $[Co_2^{III}(L^1)_2(py)_2(OAc)]PF_6$ با غلظت 10^{-3} و 10^{-5} مول بر لیتر در حلال استونیتریل ۴۵
- شکل ۵-۴ طیف 1H -NMR کمپلکس (۱) $[Co_2^{III}(L^1)_2(py)_2(OAc)]PF_6$ حلال کلروفرم دوتره ۴۶
- شکل ۶-۴ طیف 1H -NMR کمپلکس (۱) $[Co_2^{III}(L^1)_2(py)_2(OAc)]PF_6$ حلال کلروفرم دوتره ۴۷
- شکل ۷-۴ طیف 1H -NMR کمپلکس (۱) $[Co_2^{III}(L^1)_2(py)_2(OMe)]PF_6$ حلال کلروفرم دوتره ۴۸
- شکل ۸-۴ طیف FT-IR لیگاند H_2L^2 ۴۹

- شكل ۹-۴ طیف جذب الکترونی لیگاند H_2L^2 با غلظت 10^{-5} مول بر لیتر در حلال استونیتریل ۵۰
- شكل ۱۰-۴ طیف FT-IR کمپلکس (۲) $[Co^{III}(L^2)(py)_3]ClO_4$ ۵۱
- شكل ۱۱-۴ طیف جذب الکترونی کمپلکس (۲) $[Co^{III}(L^2)(py)_3]ClO_4$ با غلظت 10^{-5} مول بر لیتر در حلال استونیتریل ۵۲
- شكل ۱۲-۴ طیف 1H -NMR کمپلکس (۲) - حلال کلروفرم دوتره ۵۳
- شكل ۱۳-۴ طیف 1H -NMR کمپلکس (۲) - حلال کلروفرم دوتره ۵۴
- شكل ۱۴-۴ طیف 1H -NMR کمپلکس (۲) - حلال کلروفرم دوتره ۵۵
- شكل ۱۵-۴ طیف FT-IR لیگاند H_2L^3 ۵۶
- شكل ۱۶-۴ طیف جذب الکترونی لیگاند H_2L^3 با غلظت 10^{-5} مول بر لیتر در حلال استونیتریل ۵۷
- شكل ۱۷-۴ طیف FT-IR کمپلکس (۳) $[Co_2^{III}(L^3)_2(py)_2(OAc)]PF_6$ ۵۸
- شكل ۱۸-۴ طیف جذب الکترونی کمپلکس (۳) $[Co_2^{III}(L^3)_2(py)_2(OAc)]PF_6$ با غلظت 10^{-3} و 10^{-5} مول بر لیتر در حلال استونیتریل ۵۹
- شكل ۱۹-۴ طیف 1H -NMR کمپلکس (۳) - حلال کلروفرم دوتره ۶۰
- شكل ۲۰-۴ طیف 1H -NMR کمپلکس (۳) - حلال کلروفرم دوتره ۶۱
- شكل ۲۱-۴ طیف 1H -NMR کمپلکس (۳) - حلال کلروفرم دوتره ۶۲
- شكل ۲۲-۴ طیف FT-IR کمپلکس (۴) $[Co_2^{III}(L^1)_2(4-Mepy)_2(OAc)]ClO_4$ ۶۳
- شكل ۲۳-۴ طیف جذب الکترونی کمپلکس (۴) $[Co_2^{III}(L^1)_2(4-Mepy)_2(OAc)]ClO_4$ با غلظت 10^{-3} و 10^{-5} مول بر لیتر در حلال استونیتریل ۶۴
- شكل ۲۴-۴ طیف 1H -NMR کمپلکس (۴) $[Co_2^{III}(L^1)_2(4-Mepy)_2(OAc)]ClO_4$ حلال استونیتریل دوتره ۶۵
- شكل ۲۵-۴ طیف 1H -NMR کمپلکس (۴) $[Co_2^{III}(L^1)_2(4-Mepy)_2(OAc)]ClO_4$ حلال استونیتریل دوتره ۶۶
- شكل ۲۶-۴ طیف 1H -NMR کمپلکس (۴) $[Co_2^{III}(L^1)_2(4-Mepy)_2(OAc)]ClO_4$ حلال استونیتریل دوتره ۶۷
- شكل ۲۷-۴ طیف FT-IR کمپلکس (۵) $[Co_2^{III}(L^3)_2(4-Mepy)_2(OCH_3)]PF_6$ ۶۸
- شكل ۲۸-۴ طیف جذب الکترونی کمپلکس (۵) $[Co_2^{III}(L^3)_2(4-Mepy)_2(OCH_3)]PF_6$ با غلظت 10^{-3} و 10^{-5} مول بر لیتر در حلال استونیتریل ۶۹
- شكل ۲۹-۴ طیف 1H -NMR کمپلکس (۵) $[Co_2^{III}(L^3)_2(4-Mepy)_2(OCH_3)]PF_6$ - حلال استونیتریل دوتره ۷۰

شکل ۳۰-۴ طیف $^1\text{H-NMR}$ کمپلکس (۵) $[\text{Co}_2^{\text{III}}(\text{L}^3)_2(4\text{-Mepy})_2(\text{OCH}_3)\text{PF}_6]$ حلال استونیتریل دو تره.

شکل ۳۱-۴ طیف $^1\text{H-NMR}$ کمپلکس (۵) $[\text{Co}_2^{\text{III}}(\text{L}^3)_2(4\text{-Mepy})_2(\text{OCH}_3)\text{PF}_6]$ حلال استونیتریل دو تره

فهرست جداول

..... ۲۵	جدول ۱-۳ نتایج طیف FT-IR لیگاند H_2L^1
..... ۲۶	جدول ۲-۳ نتایج طیف FT-IR کمپلکس $[Co_2^{III}(L^1)_2(py)_2(OAc)]PF_6$ (۱)
..... ۲۶	جدول ۳-۳ نتایج طیف 1H -NMR کمپلکس $[Co_2^{III}(L^1)_2(py)_2(OAc)]PF_6$ (۱)
..... ۲۷	جدول ۴-۳ نتایج طیف FT-IR لیگاند H_2L^2
..... ۲۸	جدول ۵-۳ نتایج طیف FT-IR کمپلکس $[Co^{III}(L^2)(py)_3]ClO_4$ (۲)
..... ۲۹	جدول ۶-۳ نتایج طیف 1H -NMR کمپلکس $[Co^{III}(L^2)(py)_3]ClO_4$ (۲)
..... ۲۹	جدول ۷-۳ نتایج طیف FT-IR لیگاند H_2L^3
..... ۳۰	جدول ۸-۳ نتایج طیف FT-IR کمپلکس $[Co_2^{III}(L^3)_2(py)_2(OAc)]PF_6$ (۳)
..... ۳۱	جدول ۹-۳ نتایج طیف 1H -NMR کمپلکس $[Co_2^{III}(L^3)_2(py)_2(OAc)]PF_6$ (۳)
..... ۳۲	جدول ۱۰-۳ نتایج طیف FT-IR کمپلکس $[Co_2^{III}(L^1)_2(4-Mepy)_2(OAc)]ClO_4$ (۴)
..... ۳۳	جدول ۱۱-۳ نتایج طیف 1H -NMR کمپلکس $[Co_2^{III}(L^1)_2(4-Mepy)_2(OAc)]ClO_4$ (۴)
..... ۳۴	جدول ۱۲-۳ نتایج طیف FT-IR کمپلکس $[Co_2^{III}(L^3)_2(4-Mepy)_2(OCH_3)]PF_6$ (۵)
..... ۳۴	جدول ۱۳-۳ نتایج طیف 1H -NMR کمپلکس $[Co_2^{III}(L^3)_2(4-Mepy)_2(OCH_3)]PF_6$ (۵)
..... ۷۳	جدول ۱-۴ داده‌های کامل کریستالوگرافی بلورنگاری و پالایش مربوط به کمپلکس (۱)
..... ۷۴	جدول ۲-۴ مختصات نهایی و پارامترهای جابجایی ایزوتوبی اکی والانی اتم‌های غیر هیدروژن مربوط به کمپلکس (۱)
..... ۷۵	ادامه جدول ۲-۴ مختصات نهایی و پارامترهای جابجایی ایزوتوبی اکی والانی اتم‌های غیر هیدروژن مربوط به کمپلکس (۱)
..... ۷۵	جدول ۳-۴ طول پیوندها در کمپلکس (۱)
..... ۷۶	ادامه جدول ۳-۴ طول پیوندها در کمپلکس (۱)
..... ۷۶	جدول ۴-۴ زاویه پیوندها در کمپلکس (۱)
..... ۷۷	ادامه جدول ۴-۴ زاویه پیوندها در کمپلکس (۱)
..... ۷۷	جدول ۵-۴ پارامترهای جابجایی ایزوتوبی (آنیزوتربی) مربوط به کمپلکس (۱)

ادامه جدول ۴-۵ پارامترهای جابجایی ایزوتوبی (آنیزوتربوپی) مربوط به کمپلکس (۱)	۷۸
ادامه جدول ۴-۵ پارامترهای جابجایی ایزوتوبی (آنیزوتربوپی) مربوط به کمپلکس (۱)	۷۹
جدول ۶-۴ موقعیت اتم‌های هیدروژن و پارامترهای جابجایی ایزوتوبی مربوط به کمپلکس (۱)	۷۹
جدول ۷-۴ زاویه‌های پیچش ^(۰) مربوط به کمپلکس (۱)	۸۰
ادامه جدول ۷-۴ زاویه‌های پیچش ^(۰) مربوط به کمپلکس (۱)	۸۱
ادامه جدول ۷-۴ زاویه‌های پیچش ^(۰) مربوط به کمپلکس (۱)	۸۲
جدول ۸-۴ داده‌های کامل کریستالوگرافی بلورنگاری و پالایش مربوط به کمپلکس (۲)	۸۲
جدول ۹-۴ مختصات نهایی و پارامترهای جابجایی ایزوتوبی اکی‌والانی اتم‌های غیر هیدروژن مربوط به کمپلکس (۲)	۸۳
جدول ۱۰-۴ طول پیوندها در کمپلکس (۲)	۸۴
جدول ۱۱-۴ زاویه پیوندها در کمپلکس (۲)	۸۵
ادامه جدول ۱۱-۴ زاویه پیوندها در کمپلکس (۲)	۸۶
جدول ۱۲-۴ پارامترهای جابجایی ایزوتوبی (آنیزوتربوپی) مربوط به کمپلکس (۲)	۸۶
ادامه جدول ۱۲-۴ پارامترهای جابجایی ایزوتوبی (آنیزوتربوپی) مربوط به کمپلکس (۲)	۸۷
جدول ۱۳-۴ موقعیت اتم‌های هیدروژن و پارامترهای جابجایی ایزوتوبی مربوط به کمپلکس (۲)	۸۷
ادامه جدول ۱۳-۴ موقعیت اتم‌های هیدروژن و پارامترهای جابجایی ایزوتوبی مربوط به کمپلکس (۲)	۸۸
جدول ۱۴-۴ زاویه‌های پیچش ^(۰) مربوط به کمپلکس (۲)	۸۸
ادامه جدول ۱۴-۴ زاویه‌های پیچش ^(۰) مربوط به کمپلکس (۲)	۸۹
جدول ۱۵-۴ داده‌های کامل کریستالوگرافی بلورنگاری و پالایش مربوط به کمپلکس (۳)	۹۰
جدول ۱۶-۴ مختصات نهایی و پارامترهای جابجایی ایزوتوبی اکی‌والانی اتم‌های غیر هیدروژن مربوط به کمپلکس (۳)	۹۱
ادامه جدول ۱۶-۴ مختصات نهایی و پارامترهای جابجایی ایزوتوبی اکی‌والانی اتم‌های غیر هیدروژن مربوط به کمپلکس (۳)	۹۲
جدول ۱۷-۴ طول پیوندها در کمپلکس (۳)	۹۲
ادامه جدول ۱۷-۴ طول پیوندها در کمپلکس (۳)	۹۳

ادامه جدول ۱۷-۴ طول پیوندها در کمپلکس (۳)	۹۴
جدول ۱۸-۴ زاویه پیوندها در کمپلکس (۳)	۹۴
ادامه جدول ۱۸-۴ زاویه پیوندها در کمپلکس (۳)	۹۵
ادامه جدول ۱۸-۴ زاویه پیوندها در کمپلکس (۳)	۹۶
ادامه جدول ۱۸-۴ زاویه پیوندها در کمپلکس (۳)	۹۷
جدول ۱۹-۴ پارامترهای جابجایی ایزوتوبی (آنیزوتروپی) مربوط به کمپلکس (۳)	۹۷
ادامه جدول ۱۹-۴ پارامترهای جابجایی ایزوتوبی (آنیزوتروپی) مربوط به کمپلکس (۳)	۹۸
جدول ۲۰-۴ موقعیت اتم‌های هیدروژن و پارامترهای جابجایی ایزوتوبی مربوط به کمپلکس (۳)	۹۹
جدول ۲۱-۴ زاویه‌های پیچش (۰) مربوط به کمپلکس (۳)	۱۰۰
ادامه جدول ۲۱-۴ زاویه‌های پیچش (۰) مربوط به کمپلکس (۳)	۱۰۱
ادامه جدول ۲۱-۴ زاویه‌های پیچش (۰) مربوط به کمپلکس (۳)	۱۰۲
ادامه جدول ۲۱-۴ زاویه‌های پیچش (۰) مربوط به کمپلکس (۳)	۱۰۳
جدول ۲۲-۴ داده‌های کامل کریستالوگرافی بلورنگاری و پالایش مربوط به کمپلکس (۵)	۱۰۳
ادامه جدول ۲۳-۴ مختصات نهایی و پارامترهای جابجایی ایزوتوبی اکی والانی اتم‌های غیر هیدروژن مربوط به کمپلکس (۵)	۱۰۴
ادامه جدول ۲۳-۴ مختصات نهایی و پارامترهای جابجایی ایزوتوبی اکی والانی اتم‌های غیر هیدروژن مربوط به کمپلکس (۵)	۱۰۵
ادامه جدول ۲۴-۴ طول پیوندها در کمپلکس (۵)	۱۰۵
ادامه جدول ۲۴-۴ طول پیوندها در کمپلکس (۵)	۱۰۶
ادامه جدول ۲۴-۴ طول پیوندها در کمپلکس (۵)	۱۰۷
جدول ۲۵-۴ زاویه پیوندها در کمپلکس (۵)	۱۰۷
ادامه جدول ۲۵-۴ زاویه پیوندها در کمپلکس (۵)	۱۰۸
ادامه جدول ۲۵-۴ زاویه پیوندها در کمپلکس (۵)	۱۰۹
ادامه جدول ۲۵-۴ زاویه پیوندها در کمپلکس (۵)	۱۱۰
جدول ۲۶-۴ پارامترهای جابجایی ایزوتوبی (آنیزوتروپی) مربوط به کمپلکس (۵)	۱۱۰

ادامه جدول ۲۶-۴ پارامترهای جابجایی ایزوتوبی (آنیزوتربوپی) مربوط به کمپلکس (۵)	۱۱۱
جدول ۲۷-۴ موقعیت اتم‌های هیدروژن و پارامترهای جابجایی ایزوتوبی مربوط به کمپلکس (۵)	۱۱۲
جدول ۲۸-۴ زاویه‌های پیچش (۰) مربوط به کمپلکس (۵)	۱۱۳
ادامه جدول ۲۸-۴ زاویه‌های پیچش (۰) مربوط به کمپلکس (۵)	۱۱۴
ادامه جدول ۲۸-۴ زاویه‌های پیچش (۰) مربوط به کمپلکس (۵)	۱۱۵

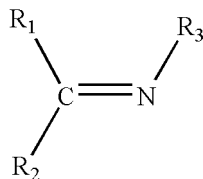
فصل اول

مقدمه

۱-۱- باز شیف^۱

بازهای شیف ترکیبات مهمی هستند که از واکنش تراکمی یک ترکیب دارای گروه کربونیل و آمین‌های نوع اول تشکیل می‌شوند. این ترکیبات اغلب به صورت کمپلکس با فلزات تهیه و مورد استفاده قرار می‌گیرند. بازهای شیف برای اولین بار توسط پروفسور شیف به عنوان لیگاند جهت سنتز کمپلکس‌ها استفاده شدند [۱]. اما روند رو به رشد این شاخه از دهه ۱۹۵۰ آغاز گردید. کمپلکس‌های حاصل از لیگاندهای باز شیف نقش بسیار مهمی را در گسترش مفاهیم شیمی کوئردناسیون ایفا کرده‌اند و تحقیقات در این زمینه به شکل چشم‌گیری گسترش یافته است و حتی در مفاهیم اورگانومتالیک و زیست‌شناسی معدنی نیز وارد شده‌اند. شکل ۱-۱ ساختار کلی یک لیگاند باز شیف را نشان می‌دهد.

^۱Schiff Base



$R_1, R_2, R_3 = \text{alkyl or aryl}$

شکل ۱-۱ ساختار عمومی باز شیف

به دلیل حضور اتم‌های سخت نیتروژن یا اکسیژن و اتم‌های نرم گوگرد در ساختار لیگاندهای باز شیف، این لیگاندها به آسانی با تعداد زیادی از فلزات واسطه، کثوردینه می‌شوند و کمپلکس‌های پایدار و رنگی تشکیل می‌دهند و بسیاری از آن‌ها خواص فیزیکی و شیمیابی و فعالیت زیست شناختی جالب توجهی نیز از خود نشان می‌دهند [۱].

۱-۲- سنتز لیگاندهای باز شیف

سنتز کلاسیک گزارش شده توسط پروفسور شیف^۱ شامل تراکم ترکیب کربونیل با آمین تحت بازروانی^۲ آزئوتروپیک می‌باشد. در دهه‌ی ۱۹۹۰ سنتز با استفاده از حلال‌های نم‌گیر مانند: تترا متیل اورتو سیلیکات یا تری متیل اورتو فرمات برای حذف آب توسعه داده شد [۲] و در سال ۲۰۰۴ چک رابرتس^۳ و همکارانش نشان دادند که بازده این روش وابسته به شدت الکتروفیلی ترکیبات کربونیل و قدرت نوکلئوفیلی آمین می‌باشد [۳]. برای سنتز بازهای شیف در ۱۲ سال گذشته تعدادی خلاقیت و نوآوری و تکنیک‌های جدید گزارش شده است، از جمله می‌توان به سنتز بدون حلال، تحت تابش ماکروویو، سوسپانسون محیط آبی، غربال مولکولی، تحت تابش مادون قرمز و تحت تابش فراصوت اشاره کرد. در میان این نوآوری‌ها، سنتز تحت تابش مایکروویو با توجه به سادگی و کارایی آن گسترش بیشتری یافته است [۲].

۱-۳- انواع بازهای شیف از دیدگاه تقارن

بازهای شیف به دو دسته متقارن و نامتقارن تقسیم می‌شوند:

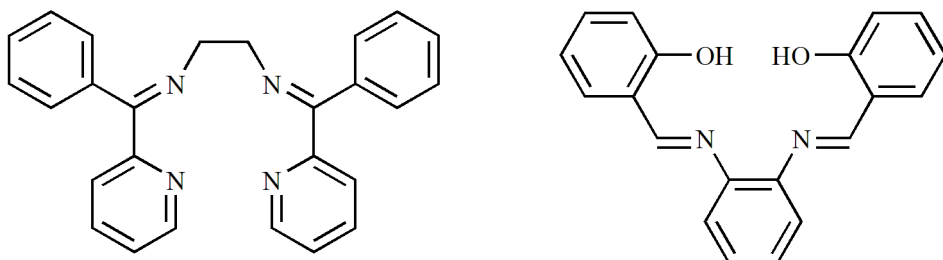
¹ Schiff

² Reflux

³ Chakraborti

۱-۳-۱- بازهای شیف متقارن

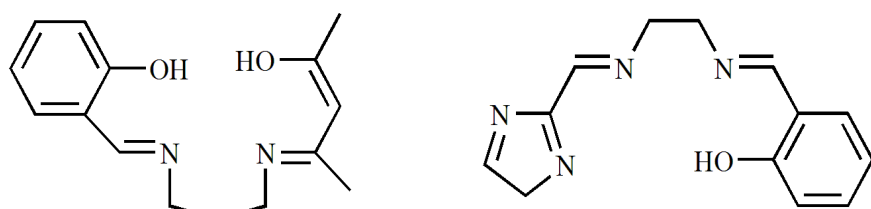
از مهم‌ترین و شناخته شده‌ترین عضو از این دسته از بازهای شیف سالن^۱ و سالوفن^۲ می‌باشند. که اسکلت ساختاری آن‌ها شامل سالیسیل‌آلدهید و یک دی‌آمین می‌باشد. نمونه‌هایی از بازهای شیف متقارن در شکل ۲-۱ نشان داده شده است [۴].



شکل ۲-۱ دو نمونه از بازهای شیف متقارن

۲-۳-۱- بازهای شیف نامتقارن

گونه‌های به کار رفته در تهیه این نوع بازهای شیف متفاوت است و این تفاوت موجب نامتقارن شدن این دسته از لیگاند‌ها می‌شود. در شکل ۳-۱ نمونه‌هایی از این نوع بازهای شیف نشان داده شده است [۴].



شکل ۳-۱ دو نمونه از بازهای شیف نامتقارن

۴- بازهای شیف سه‌دندانه

بازهای شیف سه‌دندانه دارای اتم‌های کثوردینه شونده نظیر ONO^+ ، NON^- و ... در ساختار خود می‌باشند، که اغلب به عنوان مشتقاتی از لیگاند‌های دودندانه‌ای با اضافه کردن گروه دهنده دیگر ظاهر

¹ Salen

² Salofen